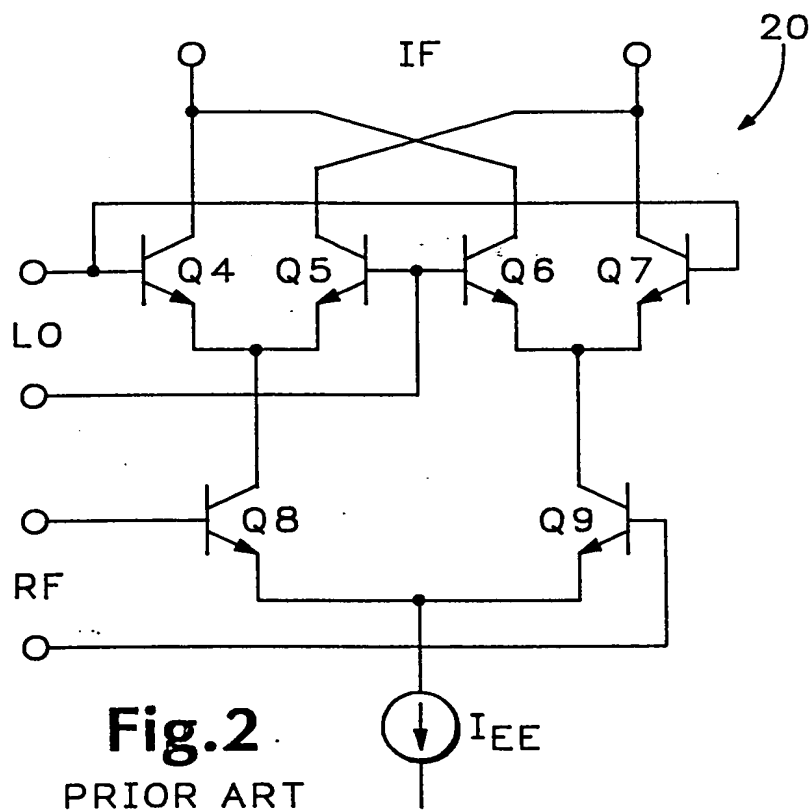


**Fig.1**  
PRIOR ART



**Fig.2.**  
PRIOR ART

RF INPUT 44

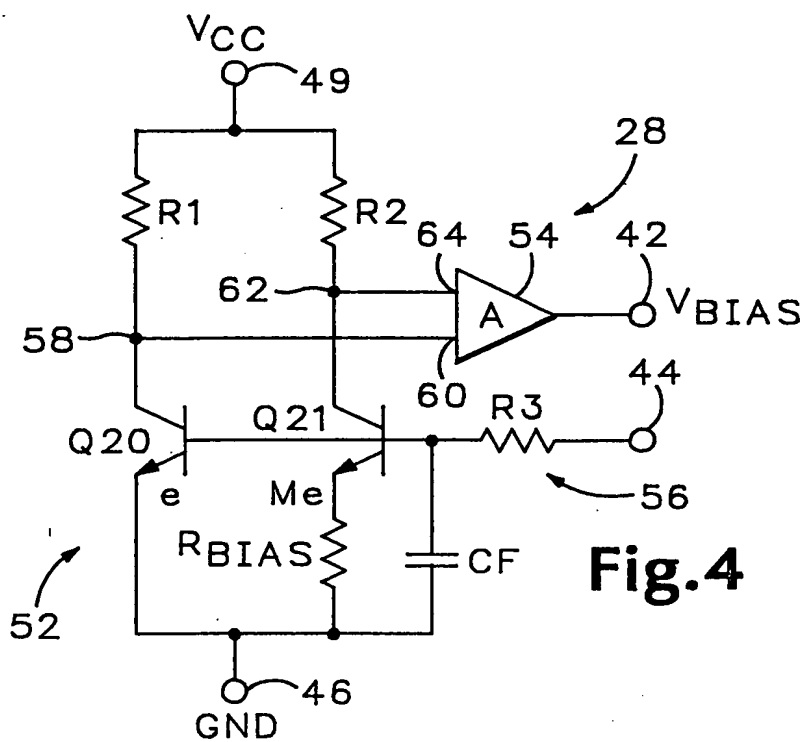


Fig.4

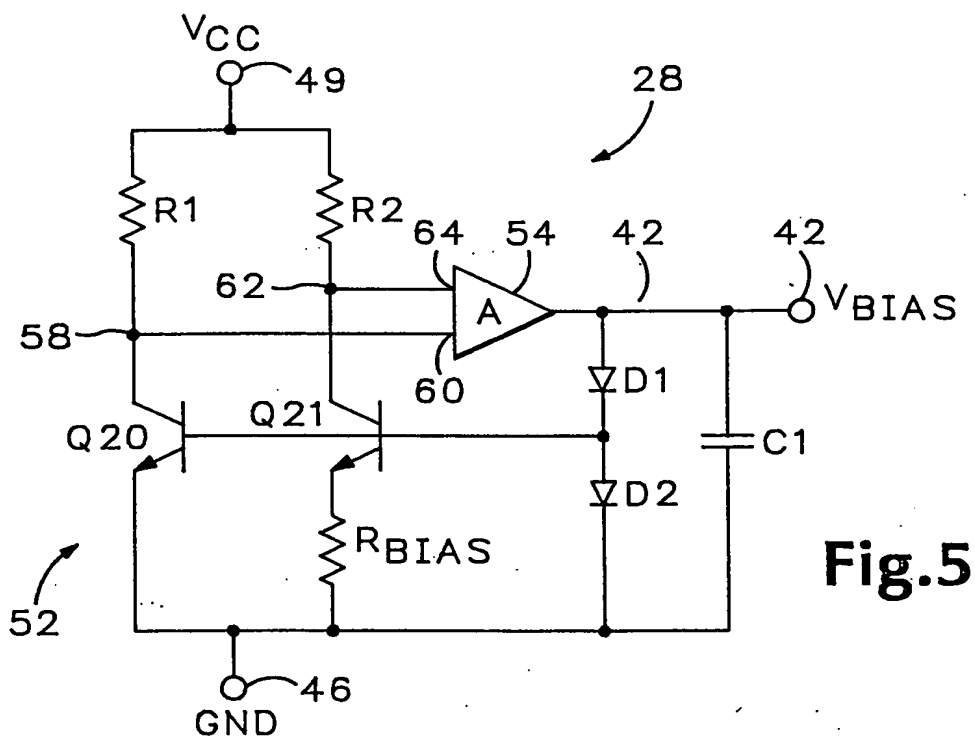
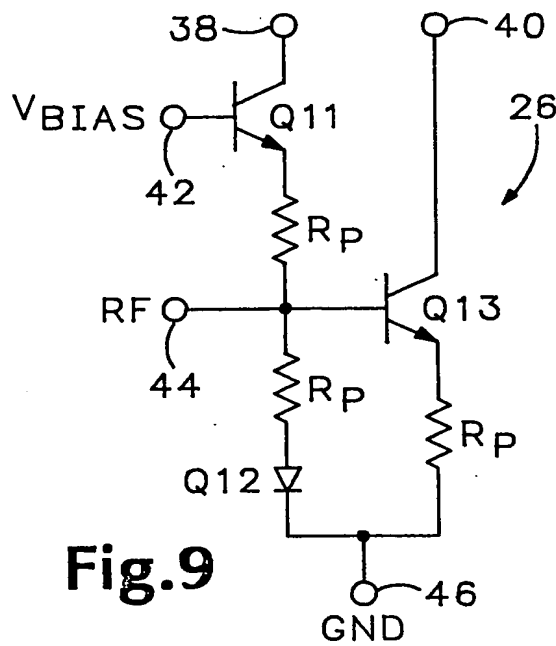
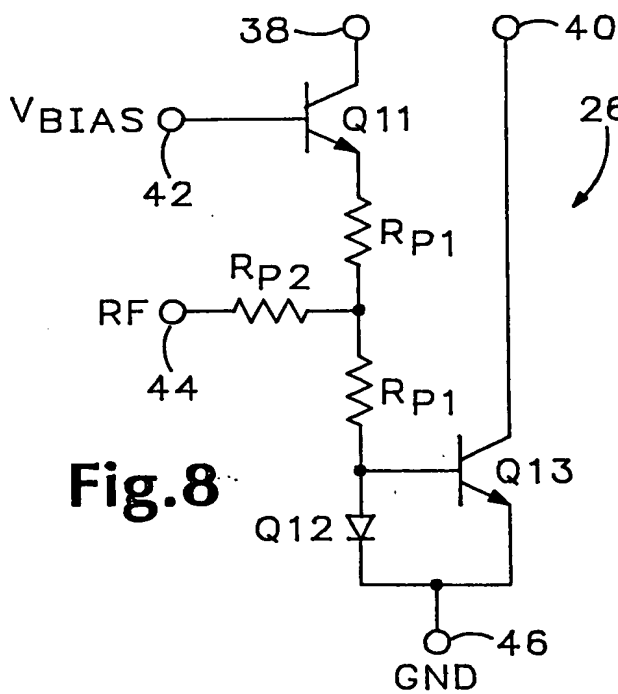
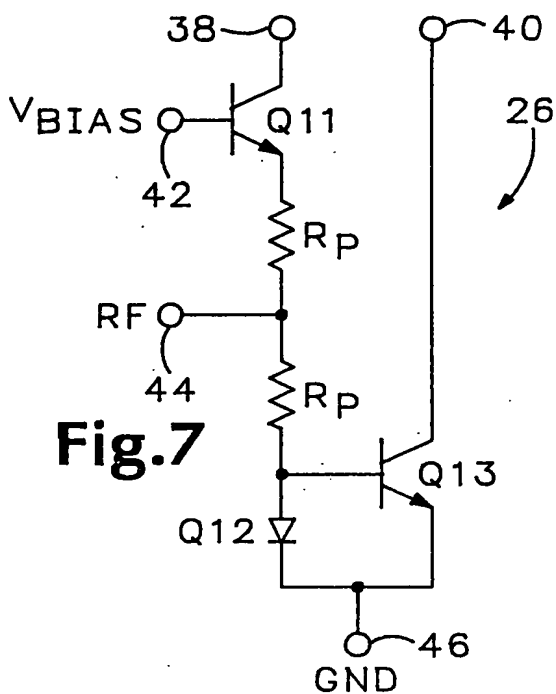
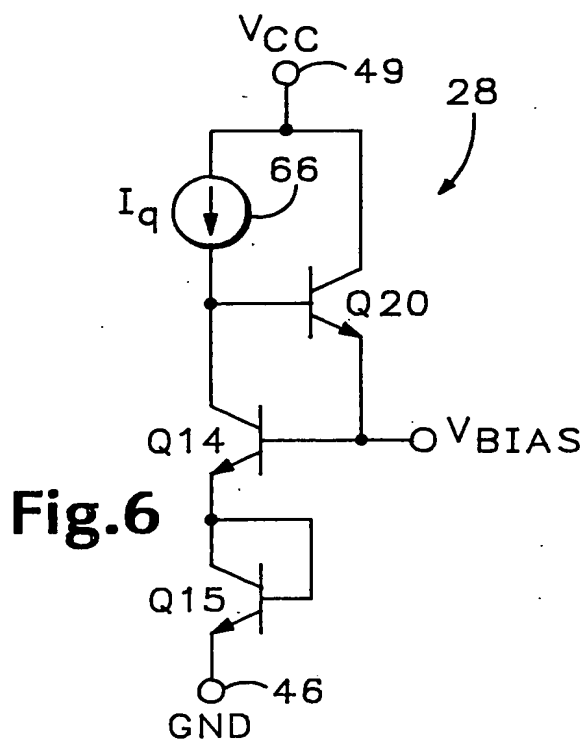
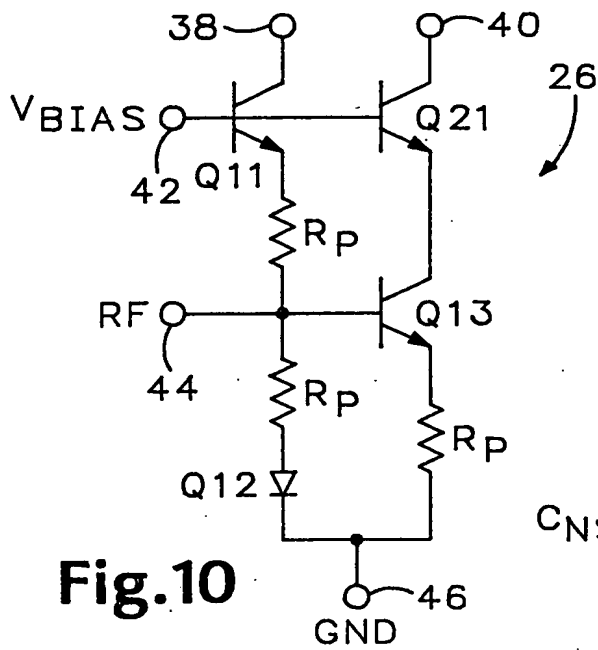


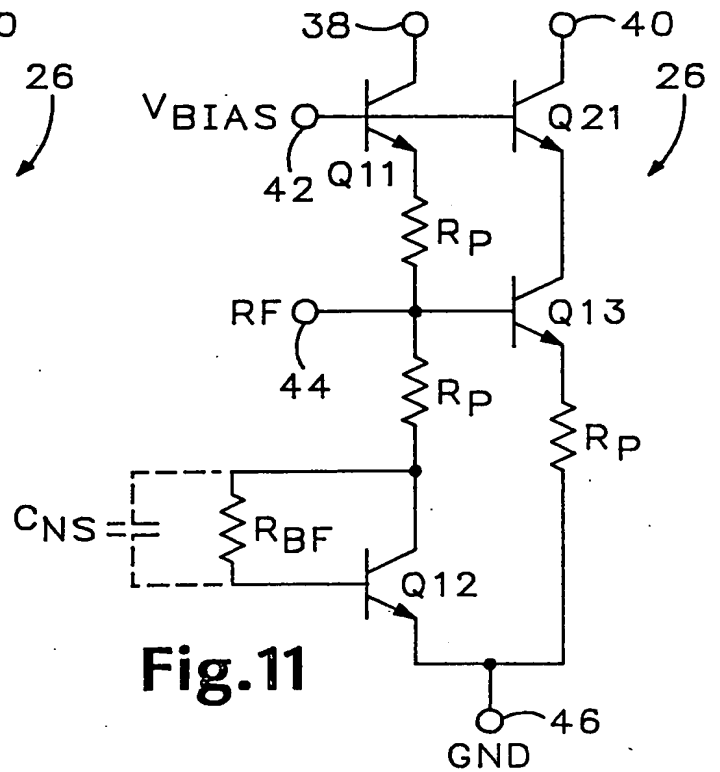
Fig.5

002010-10351500

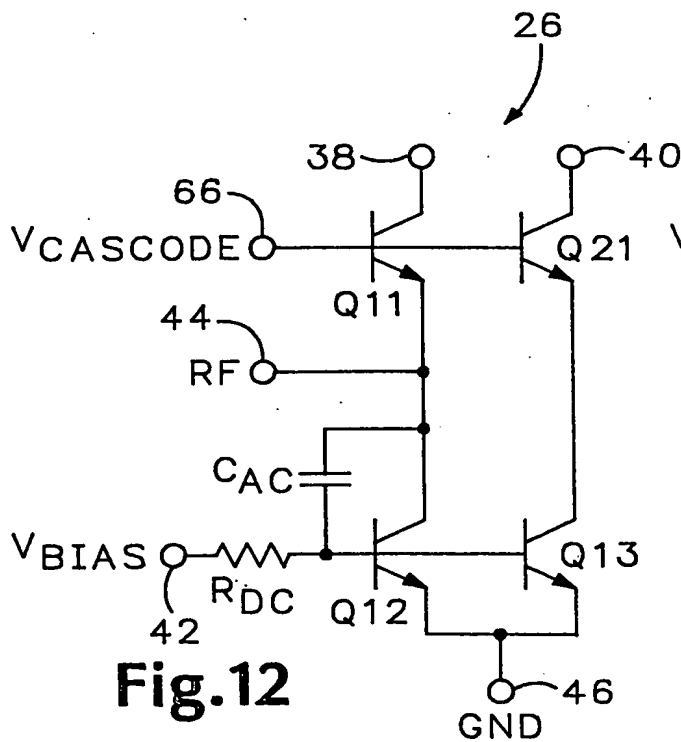




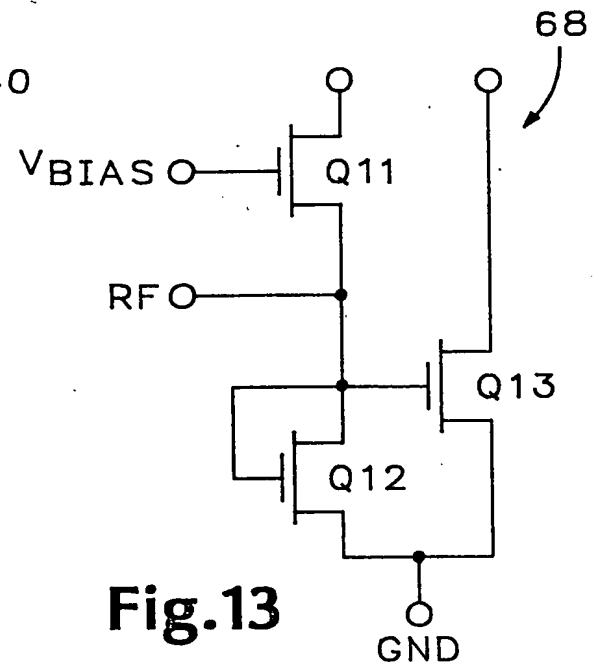
**Fig.10**



**Fig.11**



**Fig.12**



**Fig.13**

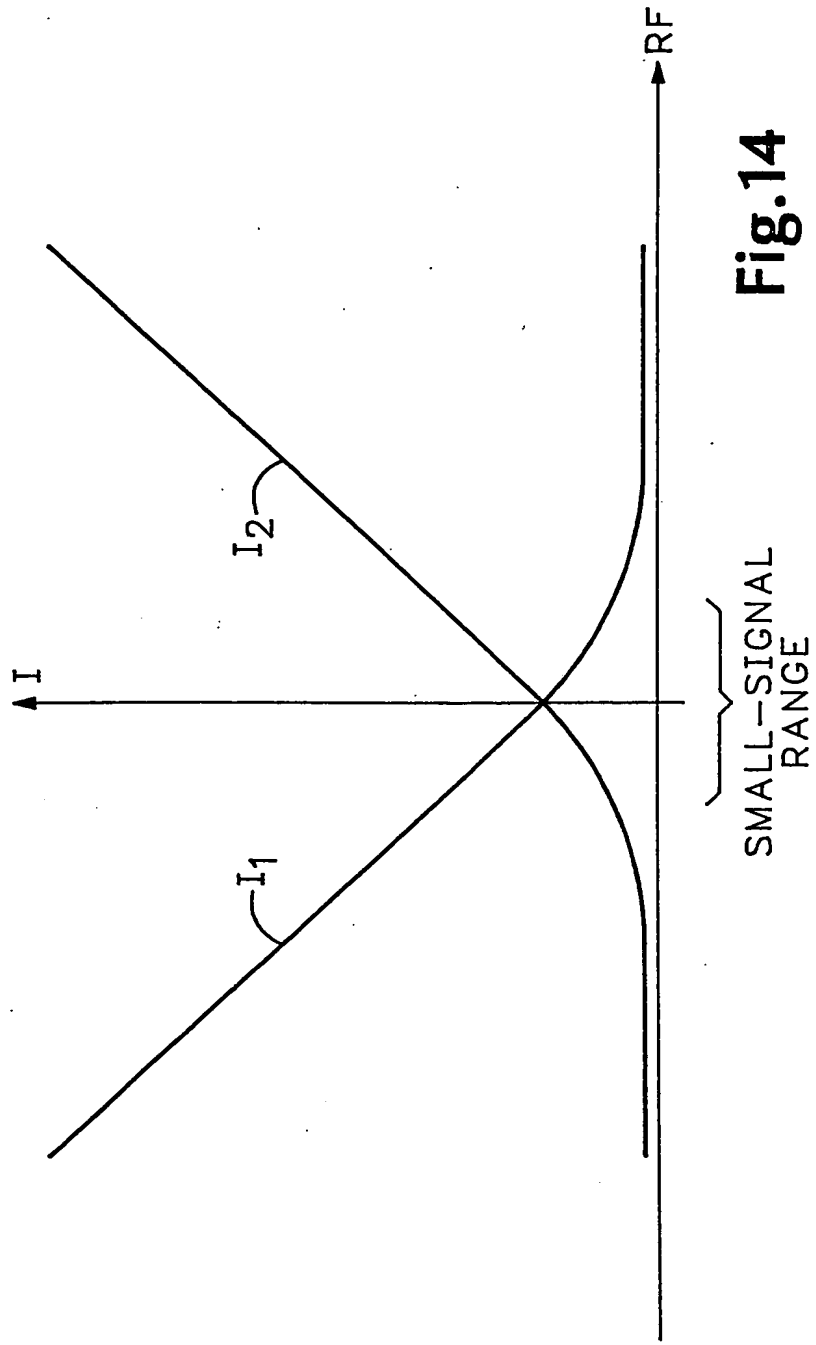


Fig.14

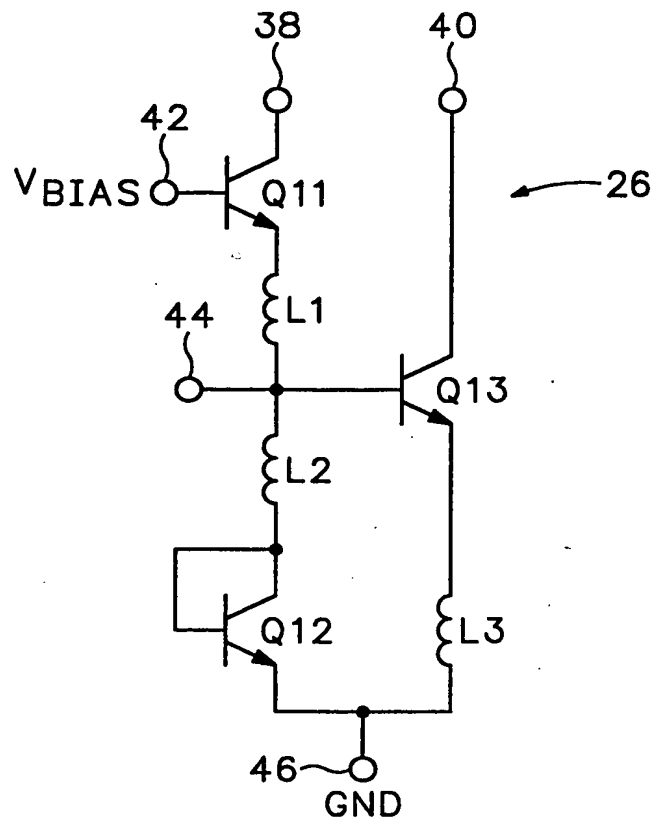


FIG.15

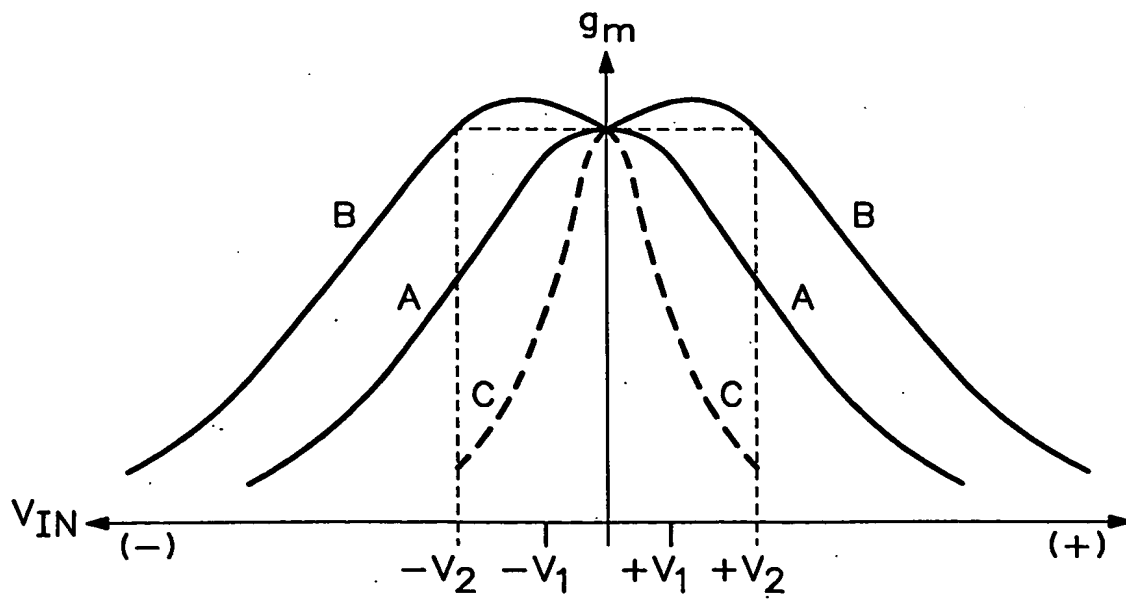
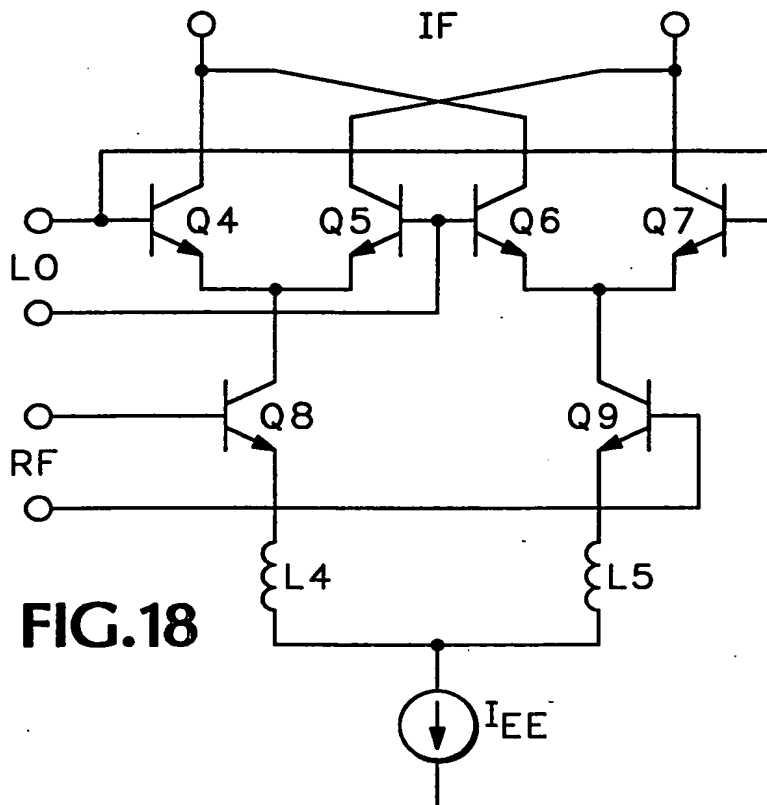
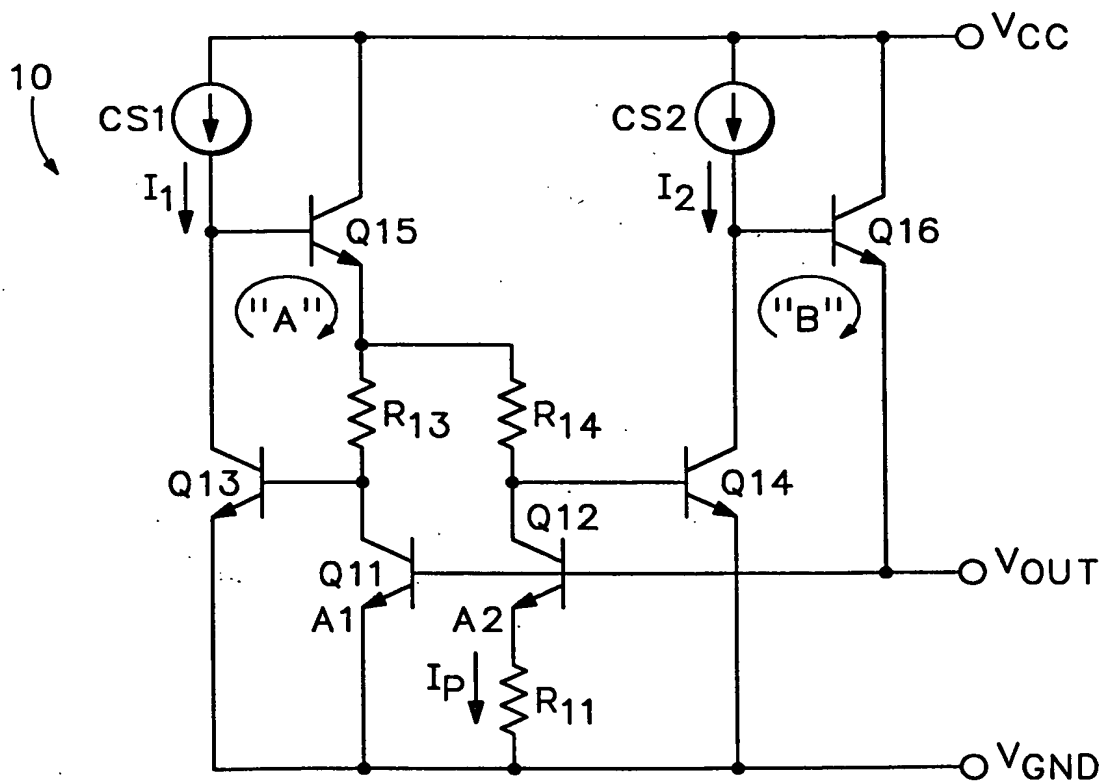


FIG.16

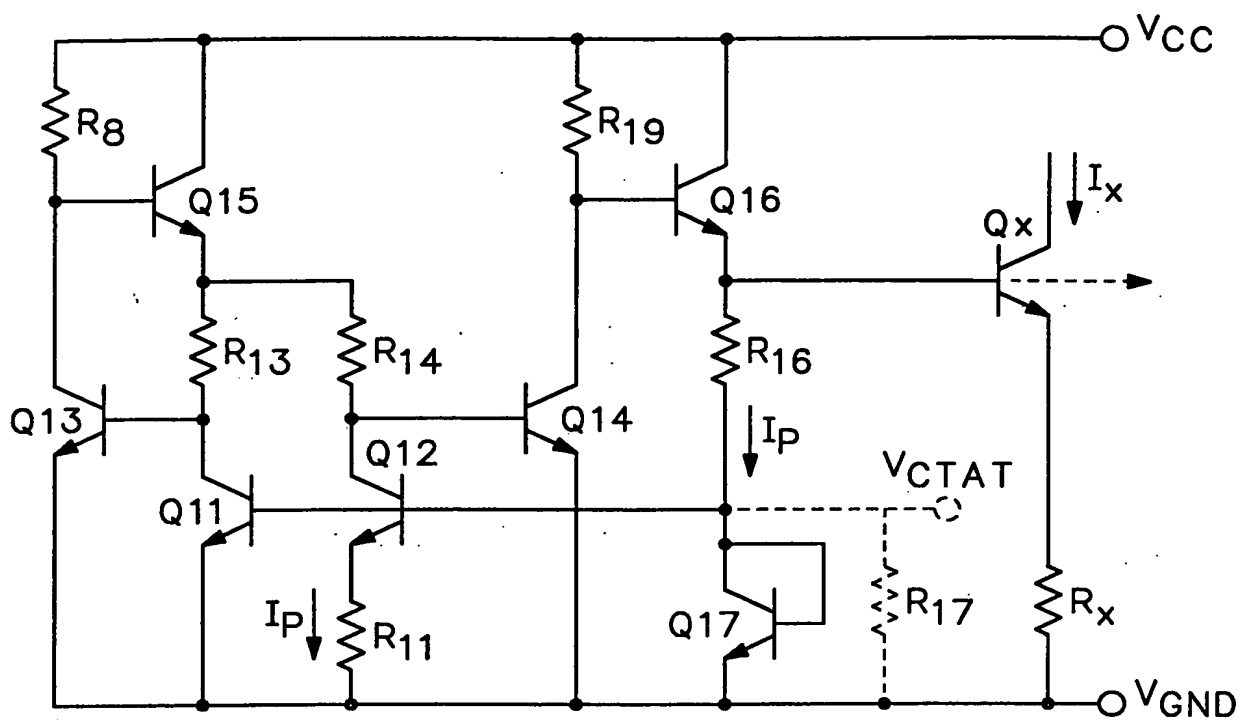
**FIG.17**



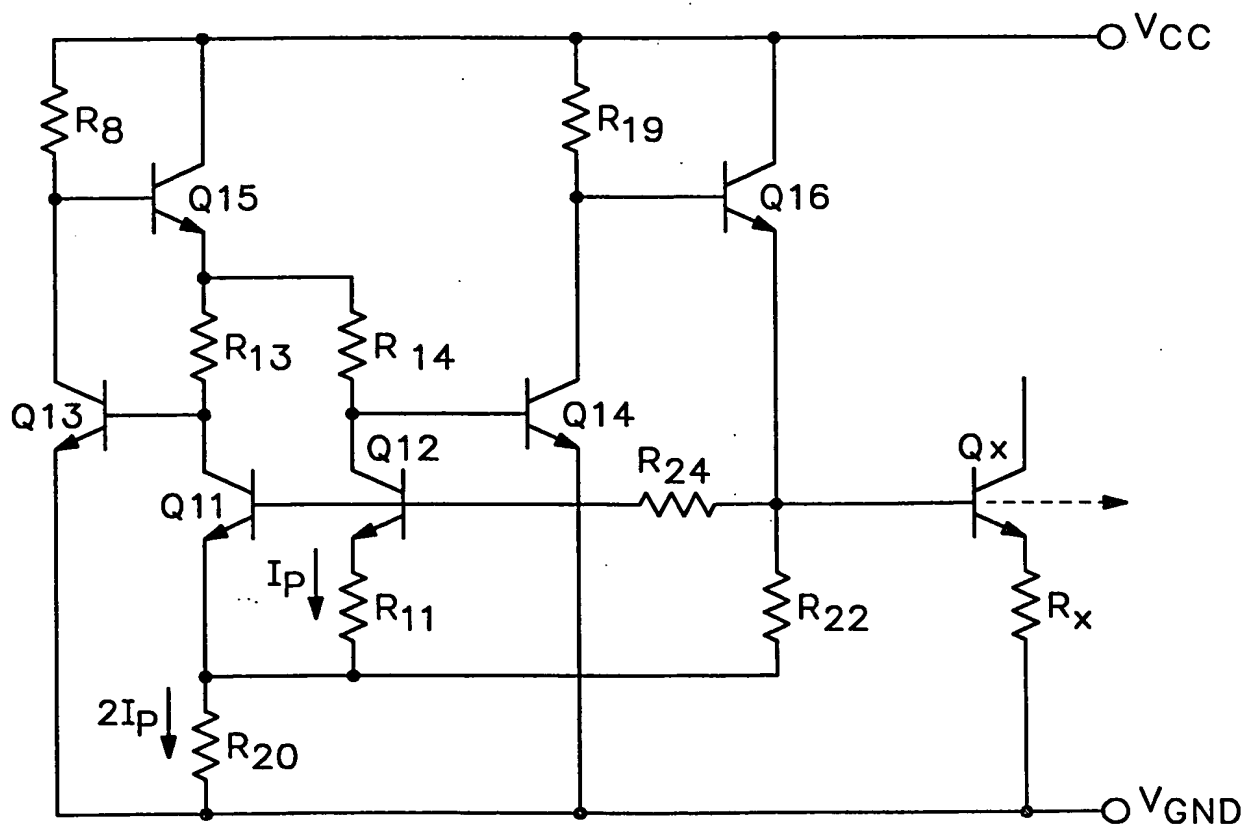
**FIG. 18**



**FIG. 19**  
(PRIOR ART)



**FIG. 20**  
(PRIOR ART)



**FIG. 21**  
(PRIOR ART)

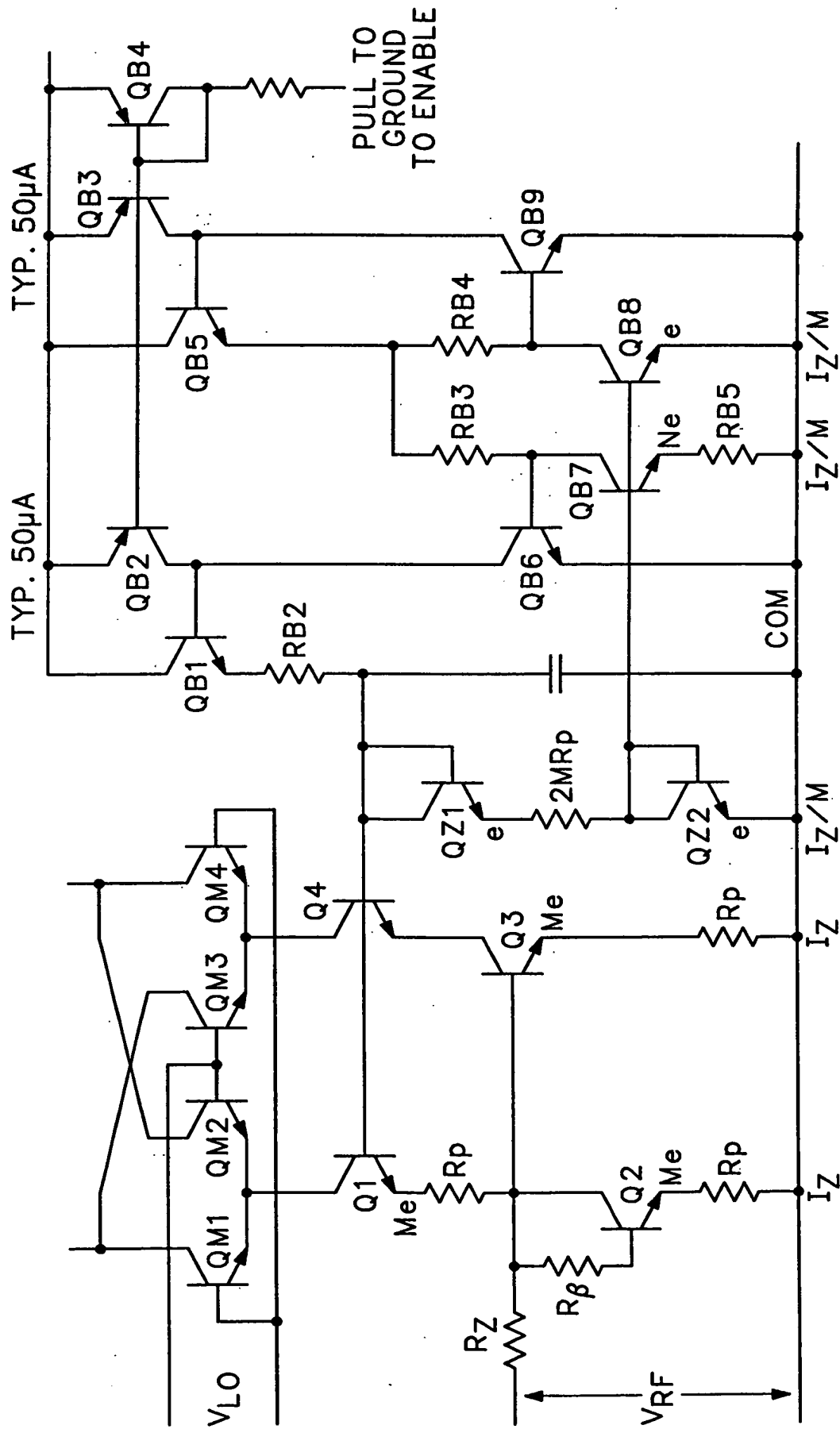


FIG. 22

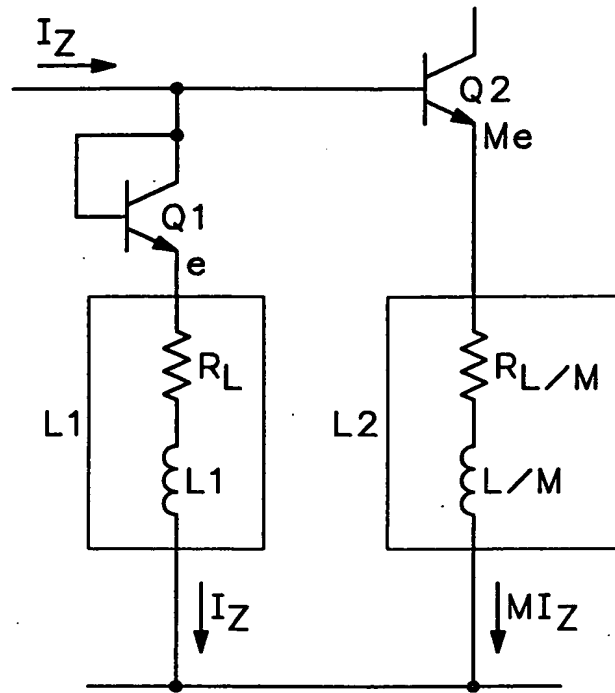


FIG.23

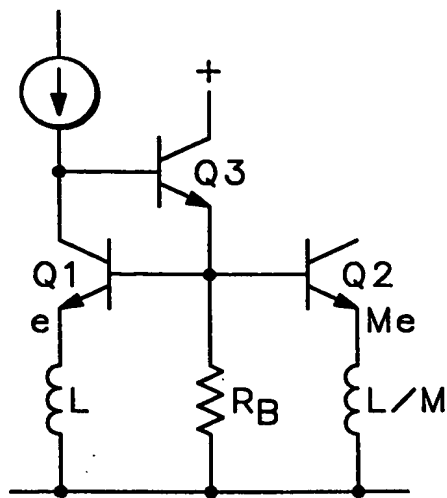


FIG.24

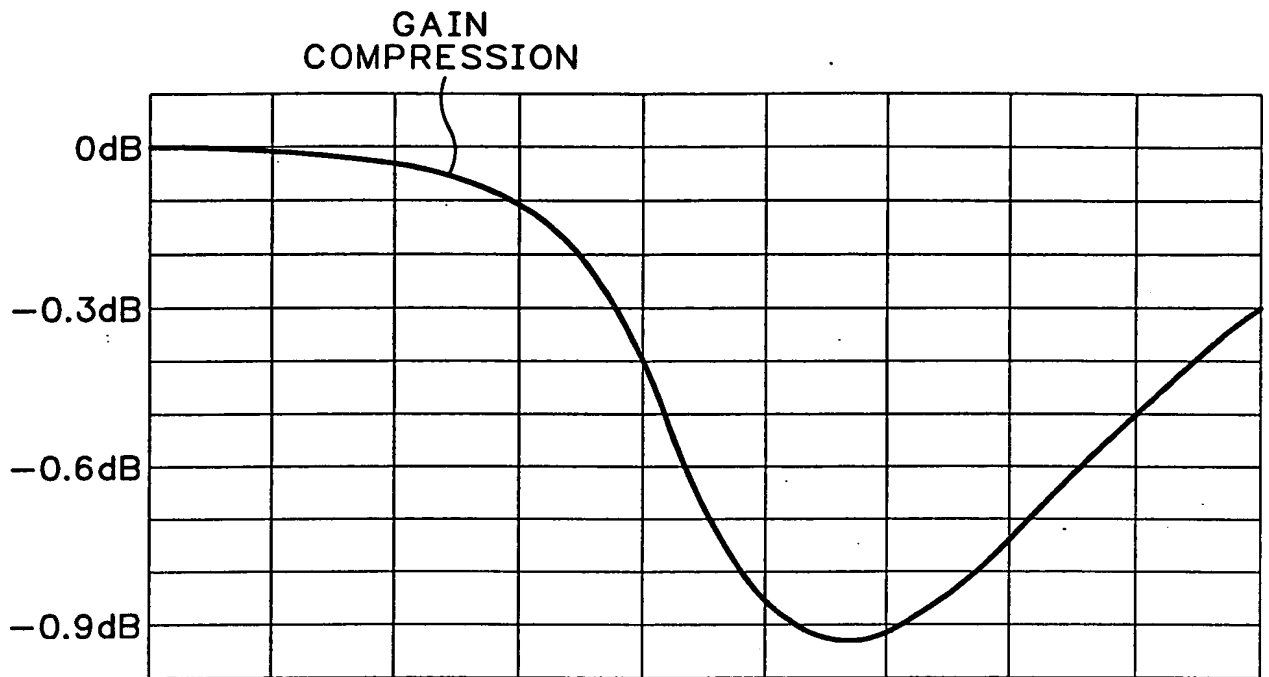


FIG.25A

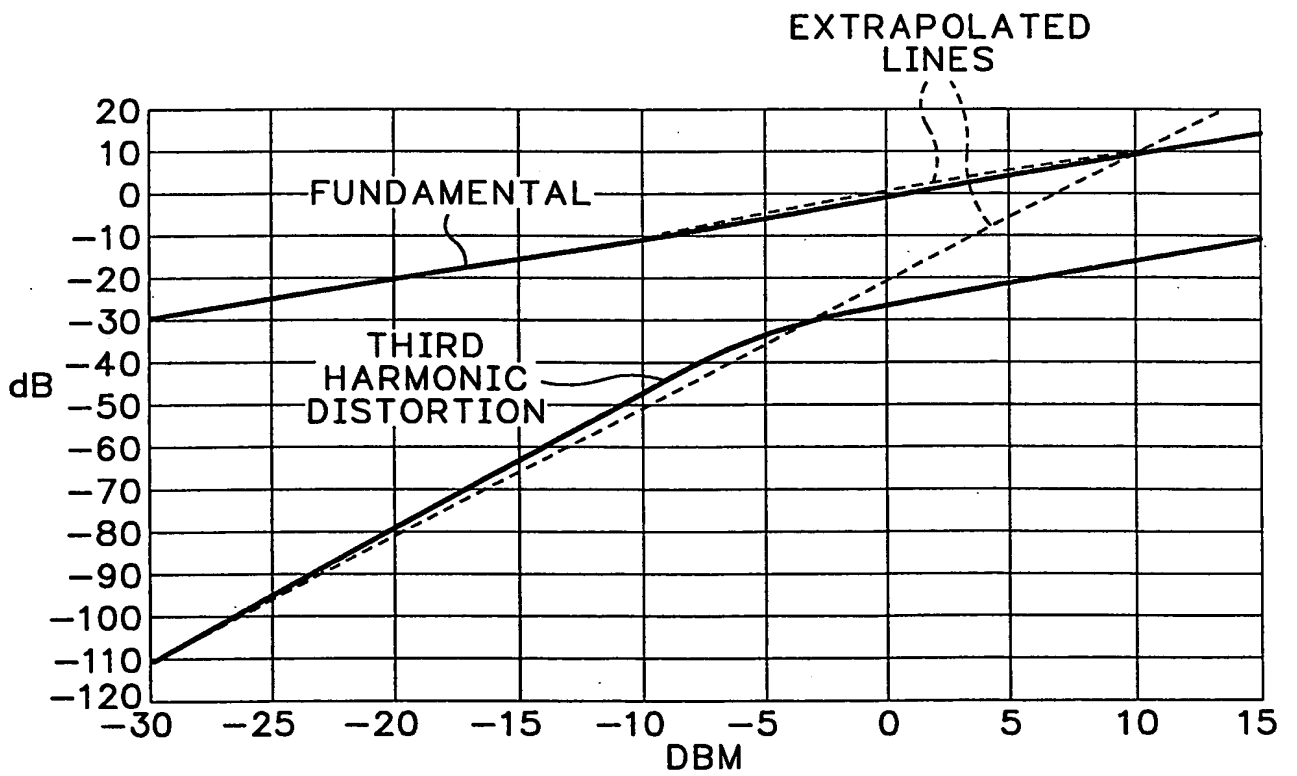


FIG.25B

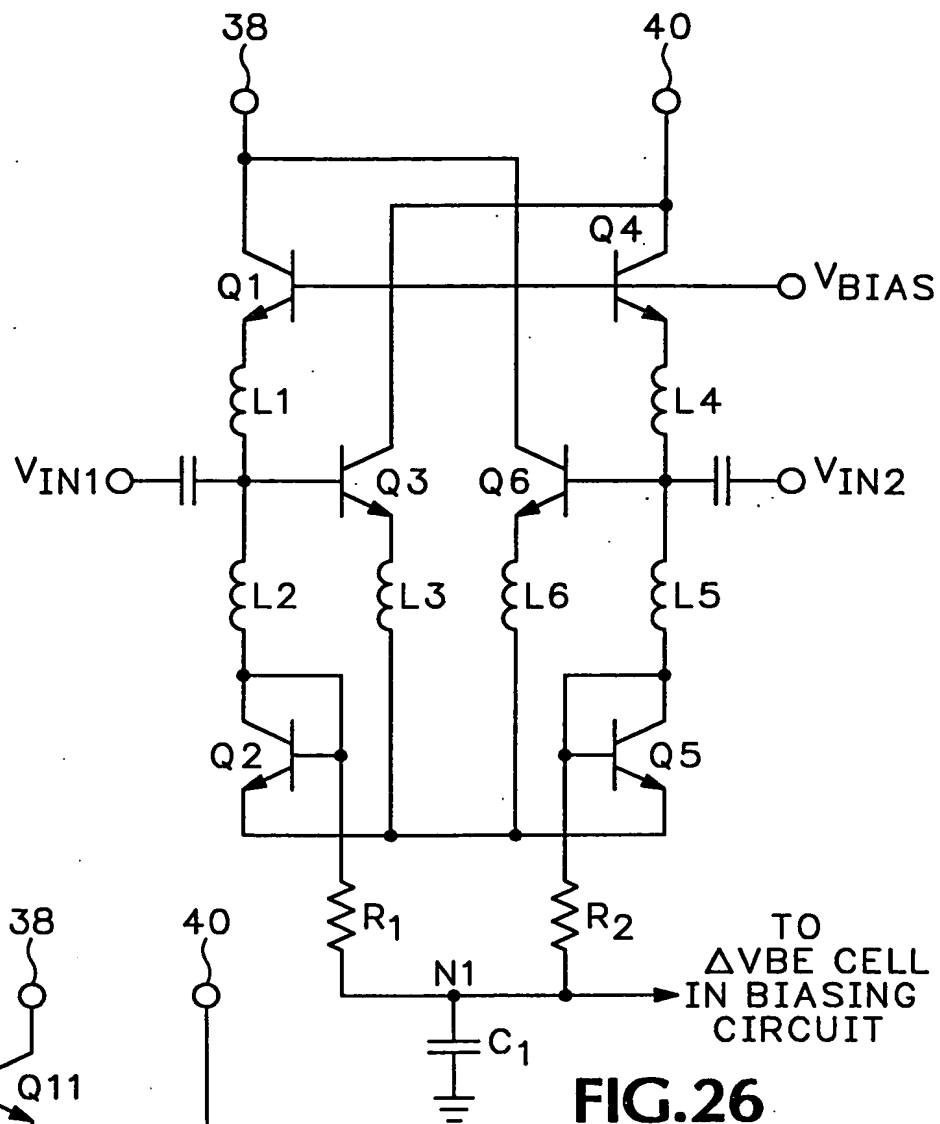


FIG. 26

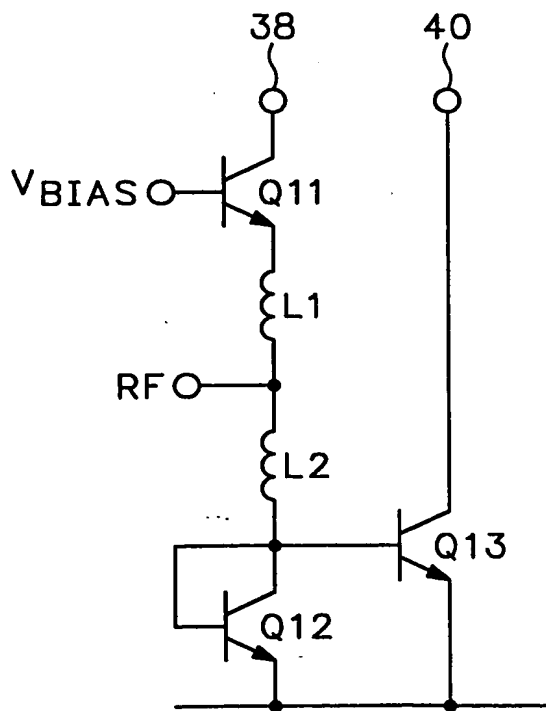


FIG. 27